

POLITECHNIKA WARSZAWSKA  
WYDZIAŁ ELEKTRONIKI I TECHNIK INFORMACYJNYCH

# WSTĘP DO MULTIMEDIÓW (WMM)

## ĆWICZENIE LABORATORYJNE #1

### **Analiza częstotliwościowa sygnałów czasu dyskretnego**

OPRACOWAŁ: DR INŻ. PAWEŁ MAZUREK

WARSZAWA, MARZEC 2021

## CELE ĆWICZENIA

- Ilustracja związków między opisem w dziedzinie czasu i opisem w dziedzinie częstotliwości dla wybranych sygnałów czasu dyskretnego.
- Wyznaczanie dyskretnej transformaty Fouriera i szybkiej transformaty Fouriera sygnałów czasu dyskretnego.
- Badanie widma amplitudowego i widma fazowego sygnałów czasu dyskretnego.
- Wizualizacja spłotu sygnałów czasu dyskretnego.
- Wyznaczanie szybkiej transformaty Fouriera spłotu dwóch sygnałów czasu dyskretnego.

## WYMAGANE WIADOMOŚCI TEORETYCZNE

### 1. Dyskretna transformata Fouriera (ang. *Discrete Fourier Transform, DFT*)

Dany jest sygnał czasu dyskretnego  $x[n]$ ,  $n = 0, 1, \dots, N-1$ , w postaci ciągu liczb rzeczywistych lub zespolonych. Dyskretną transformatą Fouriera (DFT) sygnału  $x[n]$  nazywa się ciąg liczb  $X[k]$  zdefiniowany następująco:

$$X[k] = \sum_{n=0}^{N-1} x[n] e^{-jk \frac{2\pi}{N} n}, \text{ dla } k = 0, 1, \dots, N-1 \quad (1)$$

Odwrotna DFT ma postać:

$$x[n] = \frac{1}{N} \sum_{k=0}^{N-1} X[k] e^{jk \frac{2\pi}{N} n}, \text{ dla } n = 0, 1, \dots, N-1 \quad (2)$$

Para dyskretnych transformat Fouriera opisana relacjami (1) i (2) będzie oznaczana  $x[n] \overset{DFT}{\leftrightarrow} X[k]$ . Na podstawie (1) i (2) można stwierdzić, że zarówno sygnał  $x[n]$  jak i jego transformata  $X[k]$  są funkcjami  $N$ -okresowymi. Stąd też granice sumowania we wzorach (1) i (2) mogą być zmienione następująco:

$$X[k] = \sum_{n=n_0}^{n_0+N-1} x[n] e^{-jk \frac{2\pi}{N} n}, \text{ dla } k = 0, 1, \dots, N-1 \quad (3)$$

$$x[n] = \frac{1}{N} \sum_{k=k_0}^{k_0+N-1} X[k] e^{jk \frac{2\pi}{N} n}, \text{ dla } n = 0, 1, \dots, N-1 \quad (4)$$

#### 1.1. Związek z szeregiem Fouriera

Jak wiadomo, każda ciągła funkcja okresowa  $x(t)$  o okresie podstawowym  $T$  może być rozwinięta w zespolony szereg Fouriera postaci:

$$x(t) = \sum_{k=-\infty}^{\infty} c_k e^{jk \frac{2\pi}{T} t}, \text{ gdzie } c_k = \frac{1}{T} \int_{t_0}^{t_0+T} x(t) e^{-jk \frac{2\pi}{T} t} dt \quad (5)$$

Sygnał  $x(t)$  w wyniku operacji próbkowania przekształca się w ciąg  $N$  próbek  $x(n\Delta t)$ ,  $n = 0, 1, \dots, N-1$ , gdzie  $\Delta t = \frac{T}{N}$ . Zakłada się ponadto, że spełniony jest warunek Nyquista  $\Delta t \leq \frac{1}{2} f_m$ , gdzie  $f_m$  jest maksymalną częstotliwością występującą w widmie sygnału  $x(t)$ . Ciąg  $x(n\Delta t)$  oznaczany będzie  $x[n]$ . W wyniku opisanej dyskretyzacji współczynnik  $c_k$  z równania (5) przyjmuje postać (przyjęto chwilę czasową  $t_0 = 0$ ):

$$c_k = \frac{1}{T} \int_0^T x(t) e^{-jk \frac{2\pi}{T} t} dt \approx \frac{1}{T} \sum_{n=0}^{N-1} \Delta t \cdot x(n\Delta t) e^{-jk \frac{2\pi}{T} n\Delta t} = \frac{\Delta t}{T} \sum_{n=0}^{N-1} x[n] e^{-jk \frac{2\pi}{N} n} = \frac{1}{N} X[k] \quad (6)$$

Jak wynika z przeprowadzonego rozumowania, DFT jest rezultatem przejścia od przekształcenia Fouriera dla sygnałów ciągłych do przekształcenia Fouriera dla sygnałów dyskretnych.

### 1.2. Związek z transformatą Fouriera

Jak wiadomo, dla każdego sygnału ciągłego absolutnie całkownego istnieje przekształcenie Fouriera zdefiniowane wzorem:

$$X(\omega) = \int x(t) e^{-j\omega t} dt \quad (7)$$

Przeprowadzając opisaną w sekcji 1.1 dyskretyzację:  $t \rightarrow n\Delta t$ ,  $\omega \rightarrow k\Delta\omega = k \frac{2\pi}{T}$ ,  $T = N\Delta t$  otrzymuje się:

$$X(k\Delta\omega) = \Delta t \sum_{n=0}^{N-1} x(n\Delta t) e^{-jk \frac{2\pi}{T} n\Delta t} = \frac{T}{N} \sum_{n=0}^{N-1} x[n] e^{-jk \frac{2\pi}{N} n} = T \cdot X[k], \text{ dla } k = 0, \pm 1, \dots, \pm \frac{N}{2} \quad (8)$$

gdzie  $X[k]$  oznacza DFT zdefiniowaną wzorem (1). Na podstawie relacji (8) stwierdza się, że DFT jest zdyskretyzowanym przekształceniem Fouriera. Gdy przedział  $T$  jest znormalizowany i równy 1, to  $X(k\Delta\omega) = X[k]$ .

### 1.3. Własności dyskretnej transformaty Fouriera

- Jeżeli  $x[n] \xleftrightarrow{DFT} X[k]$ , to  $x[-n] \xleftrightarrow{DFT} X[-k]$ .
- Jeżeli  $x[n] \xleftrightarrow{DFT} X[k]$ , to  $x^*[-n] \xleftrightarrow{DFT} X^*[k]$ .
- *Liniowość*

Jeżeli  $x_1[n]$  i  $x_2[n]$  są sygnałami dyskretnymi  $N$ -okresowymi oraz  $x_1[n] \xleftrightarrow{DFT} X_1[k]$  i  $x_2[n] \xleftrightarrow{DFT} X_2[k]$ , a ponadto oraz  $\alpha, \beta = \text{const}$ , to  $\alpha x_1[n] + \beta x_2[n] \xleftrightarrow{DFT} \alpha X_1[k] + \beta X_2[k]$ .

- *Przesunięcie w dziedzinie czasu:*

Jeżeli  $x[n] \xleftrightarrow{DFT} X[k]$ , to  $x[n - n_0] \xleftrightarrow{DFT} X[k] e^{-jk \frac{2\pi}{N} n_0}$ .

- *Przesunięcie w dziedzinie częstotliwości:*

Jeżeli  $x[n] \xleftrightarrow{DFT} X[k]$ , to  $x[n] e^{jk_0 \frac{2\pi}{N} n} \xleftrightarrow{DFT} X[k - k_0]$ .

- *Twierdzenie o splocie kołowym:*

Jeżeli  $x_1[n]$  i  $x_2[n]$  są sygnałami dyskretnymi  $N$ -okresowymi oraz  $x_1[n] \xleftrightarrow{DFT} X_1[k]$  i  $x_2[n] \xleftrightarrow{DFT} X_2[k]$ , to transformata  $Y[k]$  spłotu cyklicznego zdefiniowanego w postaci  $y[n] = x_1[n] \otimes x_2[n] = \sum_{m=0}^{N-1} x_1[m] x_2[n - m]$  jest iloczynem transformat sygnałów  $x_1[n]$  i  $x_2[n]$ , tzn.  $Y[k] = X_1[k] X_2[k]$ .

### 1.4. Złożoność obliczeniowa algorytmu DFT

Wyznaczając  $X[k]$  ze wzoru (1) dla ustalonego argumentu  $k$  należy wykonać  $N$  mnożeń oraz  $N-1$  dodawań. Ponieważ  $k$  zmienia się w zakresie od 0 do  $N-1$ , to wyznaczenie DFT ciągu  $x[n]$  wymaga wykonania  $N^2$  mnożeń oraz  $N(N-1)$  dodawań, co daje w konsekwencji złożoność obliczeniową DFT rzędu  $N^2$ .

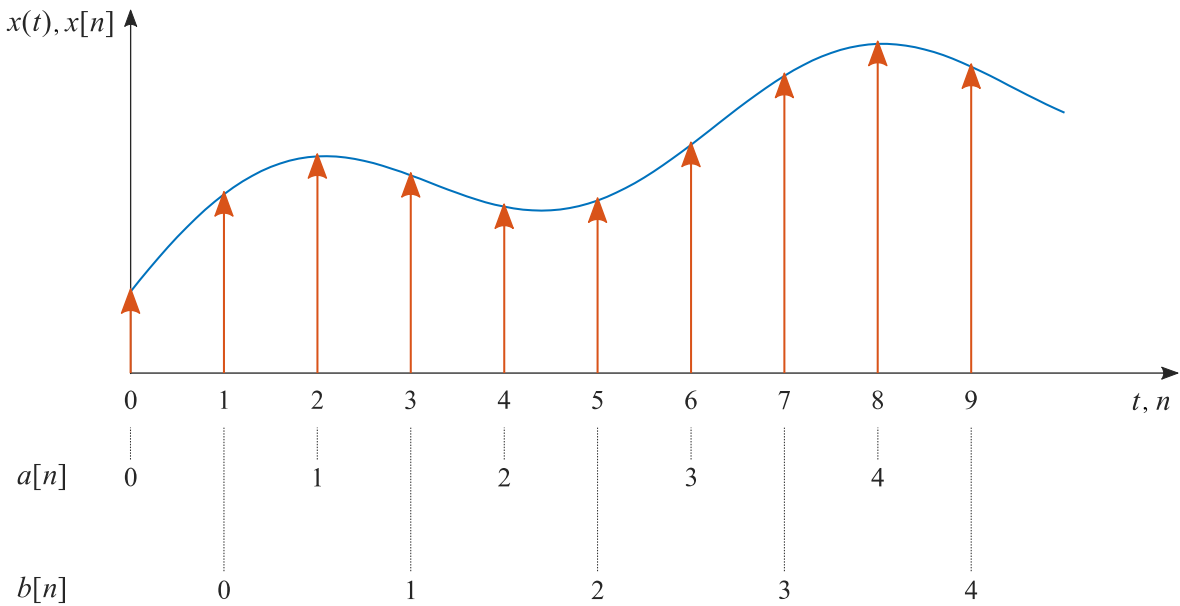
## 2. Szybka transformata Fouriera (ang. *Fast Fourier Transform*, FFT)

Realizacja obliczeń DFT, jak wynika z przeprowadzonej analizy, wymaga liczby operacji proporcjonalnej do  $N^2$ . Przy dostatecznie dużych  $N$  pojawiają się trudności obliczeniowe zwłaszcza przy obróbce sygnałów w czasie rzeczywistym. Szybka transformacja Fouriera jest algorytmem numerycznego wyznaczania DFT polegającym na zmniejszeniu liczby operacji obliczeniowych i liczby danych pośrednich. Zakłada się, że  $N$  powinno być potęgą 2. Istnieją dwie wersje tego algorytmu znane jako:

- FFT z przemieszaniem próbek w czasie lub z podziałem czasowym (ang. *decimation in time*)
- FFT z przemieszaniem próbek w częstotliwości lub z podziałem częstotliwościowym (ang. *decimation in frequency*)

W niniejszej instrukcji zostanie omówiony dokładniej algorytm FFT z podziałem czasowym.

Ogólna idea rozpatrywanego algorytmu polega na sformułowaniu w pierwszym etapie  $N/2$  przekształceń 2-punktowych, ich połączeniu, a następnie sformułowaniu  $N/4$  przekształceń 4-punktowych itd. I tak w pierwszej kolejności próbki sygnału  $x[n]$  dzielone są na dwie podgrupy, jedną o indeksach parzystych i drugą o indeksach nieparzystych. Otrzymuje się dwa ciągi próbek:  $a[n] = x[2n]$  i  $b[n] = x[2n+1]$ ,  $n = 0, 1, \dots, \frac{N}{2}-1$ , co uwidoczniło na rysunku 1.



Rys. 1. Podział próbek sygnału  $x(t)$  na dwa podciągi o indeksach parzystych i nieparzystych.

Wzór (1) sprowadza się do następującej postaci

$$\begin{aligned}
 X[k] &= \sum_{n=0}^{N/2-1} \left( a[n] e^{-jk \frac{2\pi}{N} 2n} + b[n] e^{-jk \frac{2\pi}{N} (2n+1)} \right) \\
 &= \sum_{n=0}^{N/2-1} a[n] e^{-jk \frac{2\pi}{N} 2n} + e^{-jk \frac{2\pi}{N}} \sum_{n=0}^{N/2-1} b[n] e^{-jk \frac{2\pi}{N} 2n} \\
 &= A[k] + e^{-jk \frac{2\pi}{N}} B[k]
 \end{aligned} \tag{9}$$

co oznacza, że w praktyce liczone są oddzielnie dwa  $N/2$ -punktowe dyskretne przekształcenia Fouriera dla  $a[n]$  i  $b[n]$ ,  $n = 0, 1, \dots, \frac{N}{2}-1$ . Oba przekształcenia  $A[k]$  i  $B[k]$  są funkcjami  $N/2$ -okresowymi. Wyznamy  $X\left[k + \frac{N}{2}\right]$  korzystając z (9):

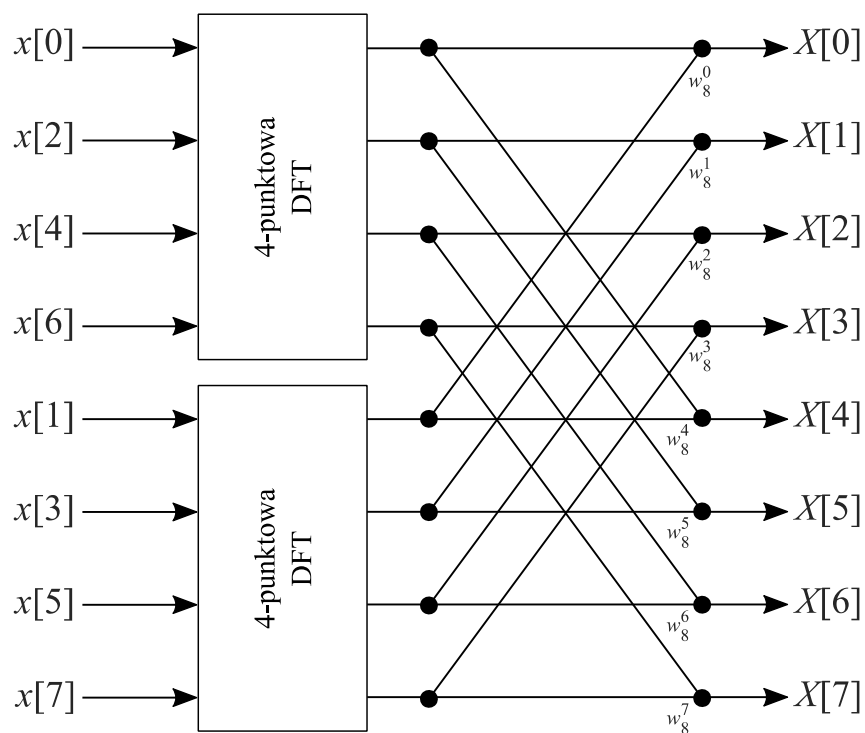
$$\begin{aligned}
 X[k + N/2] &= \sum_{n=0}^{N/2-1} \left( a[n] e^{-j\left(k + \frac{N}{2}\right) \frac{2\pi}{N} 2n} + b[n] e^{-j\left(k + \frac{N}{2}\right) \frac{2\pi}{N} (2n+1)} \right) \\
 &= \sum_{n=0}^{N/2-1} a[n] e^{-jk \frac{2\pi}{N} 2n} \underbrace{e^{-j\left(\frac{N}{2}\right) \frac{2\pi}{N} 2n}}_1 + \sum_{n=0}^{N/2-1} b[n] e^{-jk \frac{2\pi}{N} 2n} \underbrace{e^{-j\left(\frac{N}{2}\right) \frac{2\pi}{N} 2n}}_1 e^{-j\left(k + \frac{N}{2}\right) \frac{2\pi}{N}} \\
 &= A[k] + e^{-j\left(k + \frac{N}{2}\right) \frac{2\pi}{N}} B[k] \\
 &= A[k] + e^{-jk \frac{2\pi}{N}} \underbrace{e^{-j\pi}}_{-1} B[k] \\
 &= A[k] - e^{-jk \frac{2\pi}{N}} B[k]
 \end{aligned} \tag{10}$$

Podstawiając  $w_N \equiv e^{-j\frac{2\pi}{N}}$ , otrzymujemy:

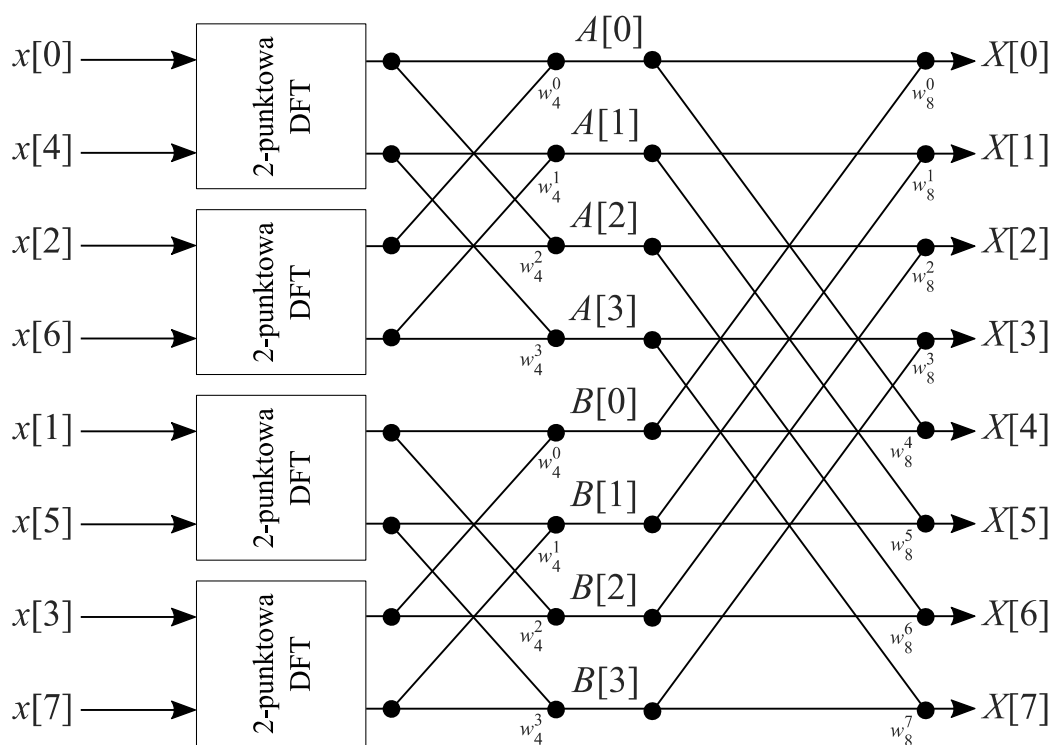
$$X[k] = A[k] + w_N^k B[k] \tag{11}$$

$$X[k + N/2] = A[k] - w_N^k B[k] \tag{12}$$

Powyższe operacje powtarzamy dla każdego  $k = 0, 1, \dots, \frac{N}{2}-1$ , czyli do wyznaczenia  $N$ -punktowej FFT należy wykonać  $\frac{N}{2}$  operacji mnożenia oraz  $N$  operacji dodawania (wliczając odejmowanie). Podział  $N$ -punktowego przekształcenia na dwa  $\frac{N}{2}$ -punktowe, następnie na  $\frac{N}{4}$ -punktowe itd. dokonuje się  $l$  razy ( $N = 2^l$ ), aż do otrzymania przekształcenia 2-punktowego. Tak więc całkowita liczba operacji elementarnych wynosi  $\frac{N}{2}l = \frac{N}{2} \log_2 N$  operacji mnożenia oraz  $Nl = N \log_2 N$  operacji sumowania. Na Rys. 2 i Rys. 3 przedstawiono schematy obliczeń 8-punktowej FFT.



Rys. 2. Graf motylkowy 8-punktowej FFT z podziałem na dwie 4-punktowe FFT.



Rys. 3. Graf motylkowy 8-punktowej FFT z podziałem na cztery 2-punktowe FFT.

### 3. Splot cykliczny

Splot cykliczny (oznaczony symbolem  $\otimes$ ) dwóch ciągów  $x[n]$  i  $y[n]$  zdefiniowany jest następująco:

$$x[n] \otimes y[n] = \sum_{m=0}^{N-1} x[m] y[(n-m)_N] \quad (13)$$

gdzie

$$y[(-n)_N] = \begin{cases} y[0] & \text{dla } n = 0 \\ y[N-n] & \text{dla } n = 1, \dots, N-1 \end{cases} \quad (14)$$

Można pokazać, że DFT ma następującą własność:

$$x[n] \otimes y[n] \xleftrightarrow{\text{DFT}} X[k] \cdot Y[k] \quad (15)$$

#### LITERATURA UZUPEŁNIAJĄCA

Wojciechowski, J.M., *Sygnały i Systemy*, Warszawa: WKiŁ, 2008.

Lyons, R.G., *Wprowadzenie do cyfrowego przetwarzania sygnałów*, Warszawa: WKiŁ 1999.

Marven, C., Ewers G., *Zarys cyfrowego przetwarzania sygnałów*, Warszawa: WKiŁ 1999.

Ozimek, E., *Podstawy teoretyczne analizy widmowej sygnałów*, Warszawa: PWN 1985.

Papoulis, A., *Obwody i układy*, Warszawa: WKiŁ 1988.